



基于有限元法的耙齿土壤切削仿真

刘修成, 何炎平, 赵永生

(上海交通大学 船舶海洋与建筑工程学院, 上海 200240)

摘要: 针对耙吸挖泥船耙齿切削土壤的问题, 提出了基于有限元的数值模拟方法。建立了耙齿和土壤的三维力学分析模型, 充分考虑到土体的黏塑性并将修正的 Drucker-Prager 土壤模型作为土体的非线性有限元模型。利用 LS-DYNA 软件的动态显式算法对过程进行模拟, 分析了不同切削深度以及不同切削速度下所得到的切削阻力, 并通过理论方法对结果进行对比分析, 验证了 ALE (Arbitrary-Lagrange-Euler) 算法在切削大变形问题上的可靠性, 为耙齿进一步研究奠定基础。

关键词: 耙齿; 土壤切削; ALE 算法; 切削阻力

中图分类号: U 674.31

文献标志码: A

文章编号: 1002-4972(2015)01-0032-05

Simulation of soil cutting using rake based on FEM

LIU Xiu-cheng, HE Yan-ping, ZHAO Yong-sheng

(School of Naval Architecture, Ocean & Civil Engineering, Shanghai Jiaotong University, Shanghai 200240, China)

Abstract: This paper presents a numerical simulation method based on FEM for the problem of soil cutting using the rake, establishes the three dimensional analytical model for both the rake and soil, taking the viscoplasticity of soil into full consideration and using the revised Drucker-Prager model as the soil model. The simulation utilizes the dynamic explicit algorithm of LS-DYNA software to analyze the cutting resistance at different cutting velocities and depths, and compares the results with theoretical ones, which confirms that the Arbitrary-Lagrange-Euler (ALE) method can be reliable in dealing with the problem of soil tool interaction and lays a foundation for further study in the rake design.

Keywords: rake; soil cutting; ALE; cutting resistance

耙吸挖泥船是一种配备有耙头和水力吸泥装置的大型自航、装舱式的挖泥船。以其机动灵活、效率高、抗风浪力强的特点, 主要用于沿海港口、内陆河道的疏浚作业。

近年来, 针对耙齿土壤切削过程的研究, 主要有模型试验和数值仿真两种途径。文献[1]通过试验的方法模拟了耙齿切削饱和硬质土的过程, 阐明了辅助高压冲水可以显著降低切削阻力。数值仿真主要采用离散单元法 (DEM) 和有限单元法 (FEM)^[2-3]。它具有周期短、花费小的优点,

但由于土壤材料特性、失效形式复杂, 以及切削过程中非线性和大变形问题的存在, 使得土壤切削的数值模拟具有较大的难度^[4]。

本文分别采用传统 Lagrange 方法与 ALE (Arbitrary-Lagrange-Euler) 方法对耙齿土壤切削进行仿真模拟, 揭示了 ALE 在模拟切削大变形时的优势, 并对仿真过程进行分析, 旨在探讨土壤的变形状况、破坏形式和耙齿切削阻力的预测, 为减小挖掘时的阻力以及耙齿部件的磨损提供可靠的依据。

收稿日期: 2014-05-12

作者简介: 刘修成 (1989—), 男, 硕士研究生, 从事耙吸挖泥船耙头黏性土壤切削的研究。

1 Lagrange 方法和 ALE 方法基本理论

Lagrange 方法以物质坐标为基础, 用于计算的网格和分析的结构是一体的, 有限元节点即为物质点, 分析结构的形状变化和有限单元网格的变化完全一致, 物质不会在单元之间发生流动。这种方法能非常精确地描述结构边界的运动。

ALE 最早是为了解决流体动力学问题而引入的, Donea 等将 ALE 法运用到有限元中, 用于求解流体与结构相互作用的问题。Hughes 等建立了 ALE 方法描述的运动学理论, 使得 ALE 算法可以克服固体大变形数值计算的难题^[5]。该方法的一个重要特征是其计算网格独立于物质坐标和空间坐标, 引入了 Lagrange 方法有效跟踪物质结构边界的特点; 其次在内部网格的处理上, 吸收了 Euler 方法的长处, 使内部网格单元独立于物质实体而存在, 并可以根据定义的参数在求解过程中适当调整, 使得网格不致出现严重的畸变。

如图 1 所示, 在 ALE 方法中, 网格及物质运动表示为:

$$\text{物质运动: } x = \phi(X, t) \tag{1}$$

$$\text{网格运动: } x = \phi_r(\xi, t) \tag{2}$$

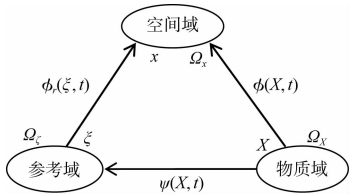


图 1 ALE 的运动描述

式中: x 为空间坐标; X 为物质坐标; ξ 为参考坐标或是 ALE 坐标。函数 $\phi(X, t)$ 将物体从物质域 Ω_x 映射到空间域 Ω_x ; 函数 $\phi_r(\xi, t)$ 将物体从参考域 Ω_r 映射到空间域 Ω_x 。根据式(1)和(2)可以求得参考域内物质点的坐标为:

$$\xi = \phi_r^{-1}(x, t) = \phi_r^{-1}[\phi(X, t), t] = \psi(X, t) \tag{3}$$

根据式(1)和(3)可以求得空间域内物质点坐标为:

$$x = \phi_r(\xi, t) = \phi_r[\psi(X, t), t] \tag{4}$$

而在空间域内物质点的运动速度 v 和参考点的运动速度 u 则由下式表示:

$$\begin{cases} v = \frac{\partial \phi(X, t)}{\partial t} \Big|_x \\ u = \frac{\partial \phi_r(\xi, t)}{\partial t} \Big|_\xi \end{cases} \tag{5}$$

在 ALE 描述中, 参考构形 (计算网格) 的运动规律可以是任意给定的, 当参考构形与物质构形重合时, 即 $u = v$ 时, ALE 描述退化为 Lagrangian 描述; 当参考构形在空间中固定不动时, 即 $u = 0$ 时, ALE 描述转化为 Eulerian 描述; 当 $u \neq v \neq 0$ 时, 则对应于一般的 ALE 描述。物质构形与参考构形之间的相对速度就是物质速度, 相对速度通常也称为输送项。LS-DYNA 程序中的 ALE 实现方式是通过两个阶段实现的: 1) 光滑步 (smooth step): 保持变形后的物体边界条件, 对内部单元进行重分网格, 网格的拓扑关系保持不变; 2) 输送步 (advection step): 将变形网格中的单元变量 (密度、能量、应力张量等) 和节点速度矢量输送到重分后的网格中。

2 土壤失效准则和材料模型

一般在外载荷作用下, 土壤的状态与载荷大小呈现较复杂的关系: 当外载荷较小时, 土壤表现为线弹性; 当外载荷继续增加, 应力超过弹性极限时, 土壤中某一点或某些点进入塑性状态, 判断土壤开始进入塑性状态的准则或条件称为屈服条件。土壤主要的屈服准则包括 Mises 条件、Mohr-Coulomb 条件 (摩尔-库仑屈服准则)、Druker-Prager 条件。

Mohr-Coulomb 强度理论能够较好地描述土壤的强度特性, 因而在土壤动力学领域得到了广泛的应用, 然而由于 Mohr-Coulomb 准则在三维空间屈服面为不规则的六角锥体表面, 在 π 平面上的图形存在尖顶和棱角, 给数值计算带来困难。

Druker 等对 Mohr-Coulomb 条件进行改进, 在主应力空间的屈服面为光滑圆锥, 数值计算效率高, 在实际有限元计算中获得了比较广泛的应用^[6]。

对土壤进行切削模拟, 土壤本构关系的选择对模拟的准确性影响很大。本文采用的材料为

MAT147 (MAT_ FHWA_ SOIL), 该模型是基于 Mohr-Coulomb 准则修正的 Druker-Prager 准则^[7], 其屈服面函数表达式为:

$$F = -P \sin \phi + \sqrt{J_2 K(\theta)^2 + A h y p^2 \sin^2 \phi} - c \cos \phi = 0 \quad (6)$$

式中: P 为净水压力值; ϕ 为内摩擦角; c 为粘聚力; J_2 为第二应力偏张量不变量; $K(\theta)$ 为与 Lode 角相关的函数; $A h y p$ 为修正系数。修正后的屈服函数更为光滑, 数值计算易收敛。

3 耙齿切削土壤的建模

耙吸挖泥船挖掘土壤的主要部件是安装在耙头上的一排耙齿, 为了研究单个耙齿土壤的切削过程, 选取 ESCO 公司生产的 Helilok 铲齿, 该耙齿主要挖掘沙土或黏土。考虑到建模和计算成本, 对耙齿进行简化处理, 并对简化后耙齿模型进行网格划分 (图 2), 耙齿模型采用 Lagrange 算法, 约束除去沿 x 轴负方向平动外的所有自由度。由于耙齿的硬度比土壤的硬度高得多, 因此建模时, 将其看作刚体, 不考虑耙齿的变形和磨损。其材料参数为: 密度 $\rho = 7850 \text{ kg/m}^3$, 泊松比 $\nu = 0.26$, 弹性模量 $E = 210 \text{ GPa}$ 。

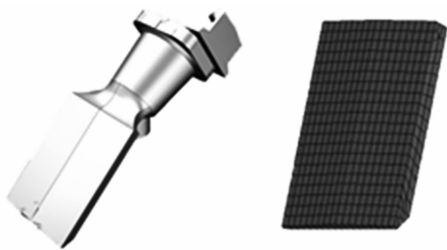
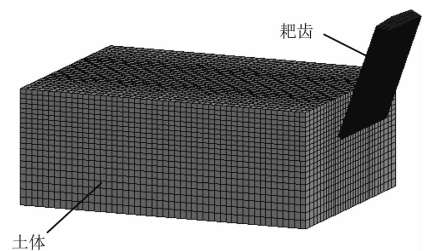


图2 耙齿及其简化有限元模型

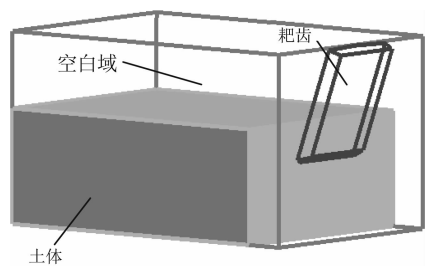
仿真中选用的泥土是上海地区常见的软塑性黏土, 本文主要研究的是耙齿切削土壤的过程, 因此没有考虑水下因素对切削的影响, 土壤三维尺寸为 $0.4 \text{ m} \times 0.3 \text{ m} \times 0.15 \text{ m}$ 。单元类型为 Solid164 实体单元, 网格采用六面体八节点的映射网格。土壤模型的边界条件设定为: 土壤底面自由度全约束, 左侧界面和两个侧面采用无反射边界条件约束。软塑性黏土的主要物理参数为: 密度 2.16 t/m^3 , 土粒相对密度 2.65, 内聚力 6.2 kPa ,

内摩擦角 ϕ 为 25° , 体积模量 E 为 3.25 MPa , 剪切模量 G 为 1.3 MPa , 含水量 10%。

模型 1 (图 3a)) 中土壤采用的是 Lagrangian 算法, 添加耙齿与土壤之间的接触为面面侵蚀接触选项 *ERODING_SURFACE_TO_SURFACE, 当表面单元失效后, 程序自动继续在结构内部定义新的接触面。模型 2 (图 3b)) 中除了要建立土壤和耙齿的模型外, 还要建立一定的空白域, 该空白域与土壤模型有相同的材料属性, 利用 *INITIAL_VOID_PART 对空白域进行初始化。耙齿和土壤之间采用的是基于罚函数的耦合算法, 使用 *CONSTRAINED_LAGRANGE_IN_SOILD 关键字进行定义。两个模型中耙齿的齿宽为 0.11 m , 齿前角为 70° , 切削深度为 0.05 m , 切削速度取 0.6 m/s , 仿真时间设定为 0.4 s 。



a) Lagrange算法



b) ALE算法

图3 土壤切削模型

4 耙齿切削三维力学模型建立

对于刀具和土壤之间的接触力, 国内外学者建立了许多力学模型。作为近似估算和参考, 以崔国华等建立的切刀与土体的相互作用力学模型^[8]为基础, 考虑土壤的极限承载力、耙齿刀刃与土体的摩擦阻力以及土体之间粘聚力等因素的影响, 建立耙齿切削力计算模型 (图 4), 耙齿形成剪切破坏, 土体移动边界由直线段 \overline{CD} 、对数段

螺旋曲线 \widehat{BC} 组成, 其塑性区域可分为: 区域 $ABCE$ 为极限平衡区; 区域曲边三角形 CED 为郎肯被动区, \widehat{BC} 为对数螺旋曲线, 方程为

$$r = \overline{AB} \exp(\varphi \tan \phi) \quad (7)$$

式中: φ 为极角, 是极径与 \overline{AB} 的夹角; r 为极径。

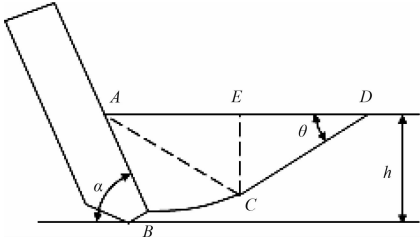


图 4 切削土体的破坏

取切断土体 $ABCE$ 作为脱离体, 考虑平衡条件进行受力分析, 见图 5, 作用在脱离体上的力包括: \overline{CE} 面上的被动土压力 P_1 , \widehat{BC} 面上的粘聚力 P_2 以及支持力 P_3 , \overline{AB} 面上的被动土压力 P_4 以及沿 \overline{AB} 面的滑动摩擦力 P_5 。因切断土体较小, 且流动速度较慢, 此处暂不考土体的重力和惯性力。

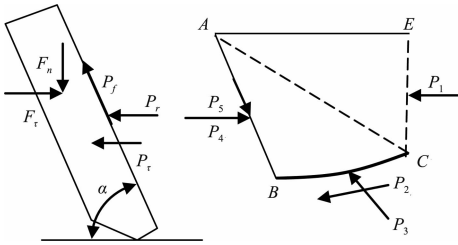


图 5 耙齿及切削土体受力

耙齿在切削的方向上受到郎肯被动土压力 P_r 的作用; 耙齿在切削的过程中, 土沿齿面向上滑动, 有摩擦力 P_f 作用于耙齿的表面; 而耙齿侧面受到土体剪断时的抗剪阻力 P_r 。这 3 种切阻力需要水平方向上的切削力 F_r 和垂直方向上的预压力 P_n 来克服。

1) 将以上各力对 A 点求矩, 根据力矩平衡可以推导出 \overline{AB} 面上的被动土压力, 由于 P_4 和 P_r 为作用力与反作用力, 则 Rankine 被动土压力为

$$P_r = P_4 = \frac{bhK_e}{\sin^2 \alpha} \left(\frac{1}{2} \rho gh K_p + 2c \sqrt{K_p} \right) \sin^2 \left(\frac{\pi}{4} - \frac{\phi}{2} \right) + \frac{cbh \cos^2 \phi}{\sin^2 \alpha \sin \phi} (K_e - 1) \quad (8)$$

其中

$$K_e = \exp \left[\left(2\alpha + \phi - \frac{\pi}{2} \right) \tan \phi \right] \quad (9)$$

$$K_p = \tan^2 \left(\frac{\pi}{4} + \frac{\phi}{2} \right) \quad (10)$$

式中: K_e 和 K_p 为被动土压力系数; ρ 为土壤密度; c 为粘聚力; ϕ 为内摩擦角; α 为齿前角; b 为耙齿宽度; h 为耙齿入土深度。

2) 耙齿在切削土壤过程中, 土沿齿面向上滑动, 摩擦力 P_f 是由作用于齿面上的法向压力产生的, 故

$$P_f = P_r \mu_1 \sin \alpha \quad (11)$$

式中: μ_1 为土与钢的摩擦系数。

3) 耙齿在行进的过程中, 受到土体两个侧面的抗剪阻力 P_r , 土体受剪切的面积可近似看做边为 \overline{AD} , 高为 h 的三角形面积 S , 那么

$$P_r = 2Sc \quad (12)$$

综上所述, 耙齿在行进过程中, 对土体作用的切削力可根据耙齿的受力平衡条件得到:

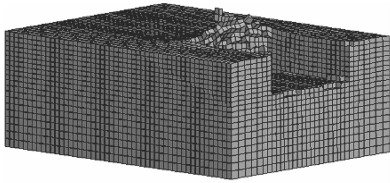
$$F_r = P_r + P_r + P_f \cos \alpha \quad (13)$$

5 结果与分析

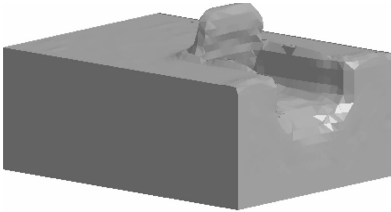
5.1 切削过程

耙齿接触土壤后, 位于齿尖处的土壤首先受到耙齿的挤压直至出现塑性变形, 随着变形的增加, 发生剪切破坏。当耙齿继续向前移动时, 齿尖上部的土壤也随即出现塑性形变, 并沿着前齿面滑动。图 6 分别给出了 Lagrange 方法和 ALE 方法模拟土壤切削过程的仿真示意图。在利用 Lagrange 方法时, 由于所选的土壤材料模型含有单元生死功能, 切削后的土壤单元会因为失效被删除掉, 而 ALE 方法本身具有处理大变形所引起的网格畸变的优势, 这样被切削的土壤会以切屑的形式沿耙齿表面向上滑动, 更能直观真实地反映黏性土壤切削状态; 通过观察土壤的 Von Mises 等效应力可以发现, 最大应力集中在齿刃下部两端处, 一是因为耙齿在此处要克服土壤的抗剪强度, 二是耙齿两侧和前端的土壤对齿刃的共同挤压作

用；耙齿前端土壤节点速度矢量的方向与齿面大致垂直，与理论剪切破坏面平行。



a) Lagrange算法



b) ALE算法

图6 0.3 s 时土壤切削破坏

Lagrange 方法和 ALE 方法模拟土壤切削的过程大致相同，然而，ALE 方法不需要添加单元失效准则，切削中不存在单元的删减，所以整个切削过程更加稳定，数值结果更加真实可信。另外，Lagrange 方法所使用的 * ERODING_ SURFACE_ TO_ SUEFACE 接触算法需要消耗更大计算成本。因此，ALE 方法更适合模拟土壤的切削。

5.2 切削力

切削阻力是土壤切削过程模拟中所关注的一个重要的方面，它直接决定了耙头挖掘效率和能耗。切削力的影响因素特别复杂，由耙齿力学模型分析得到，切削力不仅与耙齿的几何参数有关，还必须考虑土壤的物理参数，主要包括土壤密度、土壤内聚力及内摩擦角。另外，耙齿的工作状态（如切削速度、切削深度以及切削角等）对切削力的也有影响。对于选定的土壤，主要考虑切削深度和切削速度不同引起切削力的变化。图7反映的是两种切削模型在相同条件下切削力的对比；当模型2的切削速度为0.6 m/s，分别选取切削深度为0.03、0.05、0.07 m进行仿真模拟，得到的切削力曲线见图8；同理，选定切削深度为0.05 m，切削力随切削速度的变化见图9。

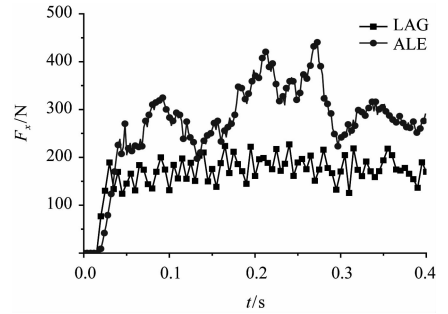


图7 两种模型切削力对比

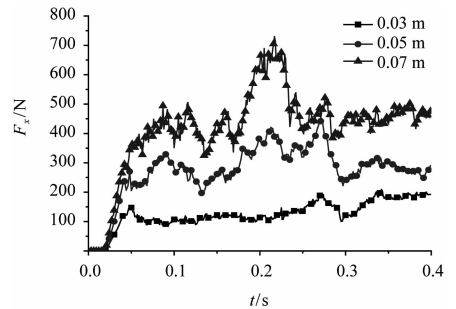


图8 不同切削深度下切削力的对比

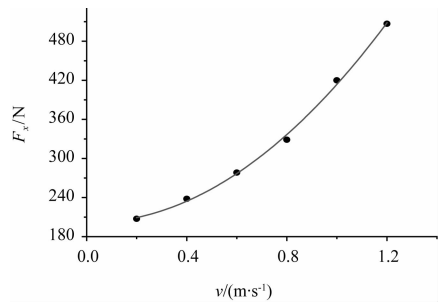


图9 切削力和切削速度的关系曲线

图7表明，两种方法中，Lagrange 方法得到的切削力要偏小，因为在模拟切削的过程中，伴随着土壤网格单元删除，这样虽然解决了大变形网格畸变引起的数值计算不收敛，但是也会使仿真结果不准确。图8说明了在切削速度一定的条件下，切削阻力随着切削深度的增加而增大；作为近似估算，利用上文建立的耙齿切削力学模型可以计算出3种不同切削深度下的切削力分别为99、193.4、270 N，可以看出ALE方法仿真的结果比数值模型计算的结果大，可能是因为数值计算考虑的是极限平衡状态下的被动土压力，而土壤切削是动态的，另外仿真过程中耙齿齿面会产生壅土，会增加一定的切削阻力。图9反映的是在切削深度一定的情况下，切削速度的增大会引起切削阻力的急剧增加。